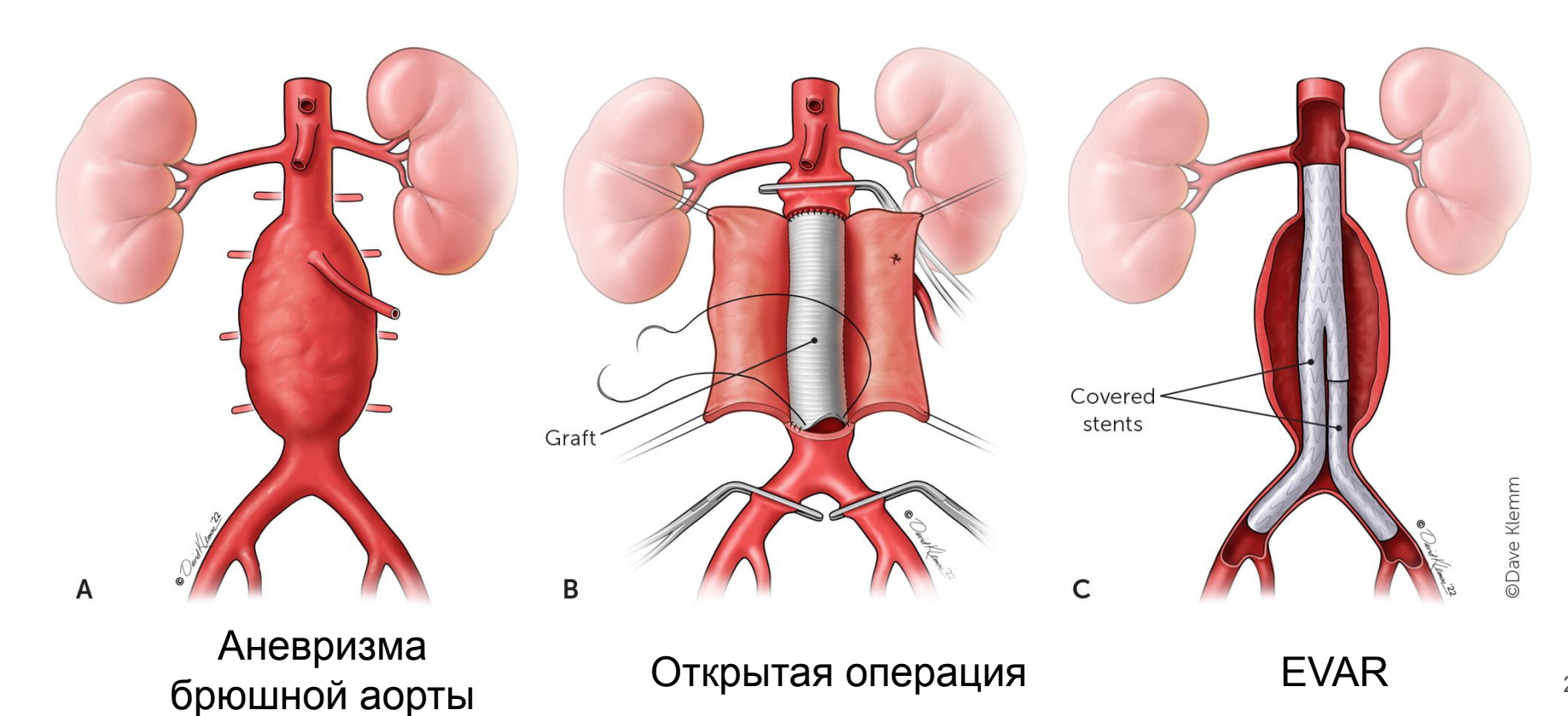


# АІ-фреймворк для автоматизированного планирования эндоваскулярного вмешательства на аневризму брюшной аорты

Федотова Я.В<sup>1</sup>. & Епифанов Р.Ю.<sup>1</sup>, Дьячук С.Е.<sup>1</sup>, Басков Н.О.<sup>1</sup>, Григорьев В. Е.<sup>1</sup>, Карпенко А.А.<sup>2</sup>, Мулляджанов Р.И.<sup>1</sup>

<sup>1</sup>Новосибирский государственный университет, Новосибирск, Россия <sup>2</sup> ФГБУ ФНКЦ ФХМ им. Ю. М. Лопухина ФМБА России

# Актуальность: 2 типа оперирования



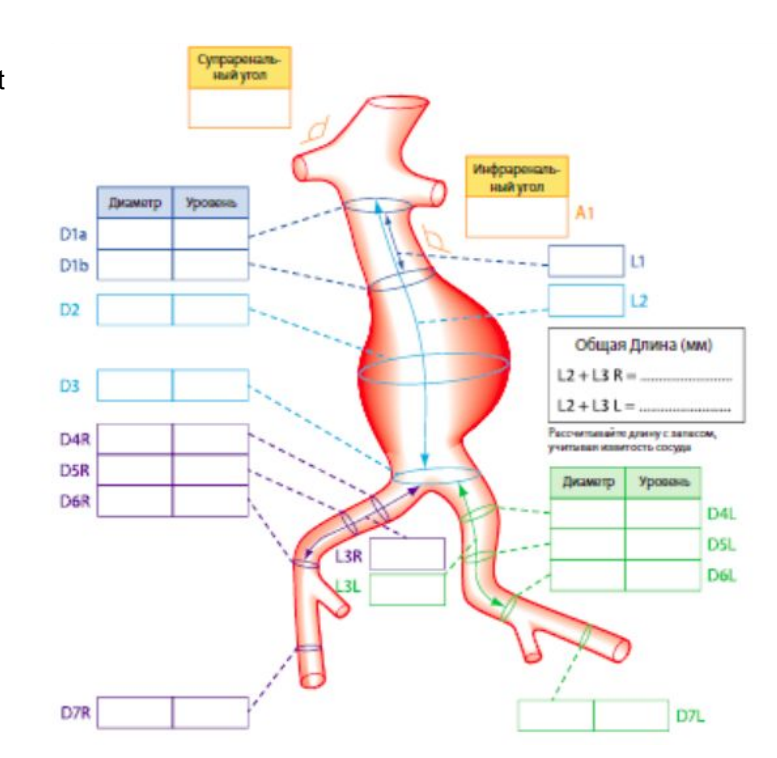
#### Актуальность: EVAR

В протоколе Endurant требуется измерить:

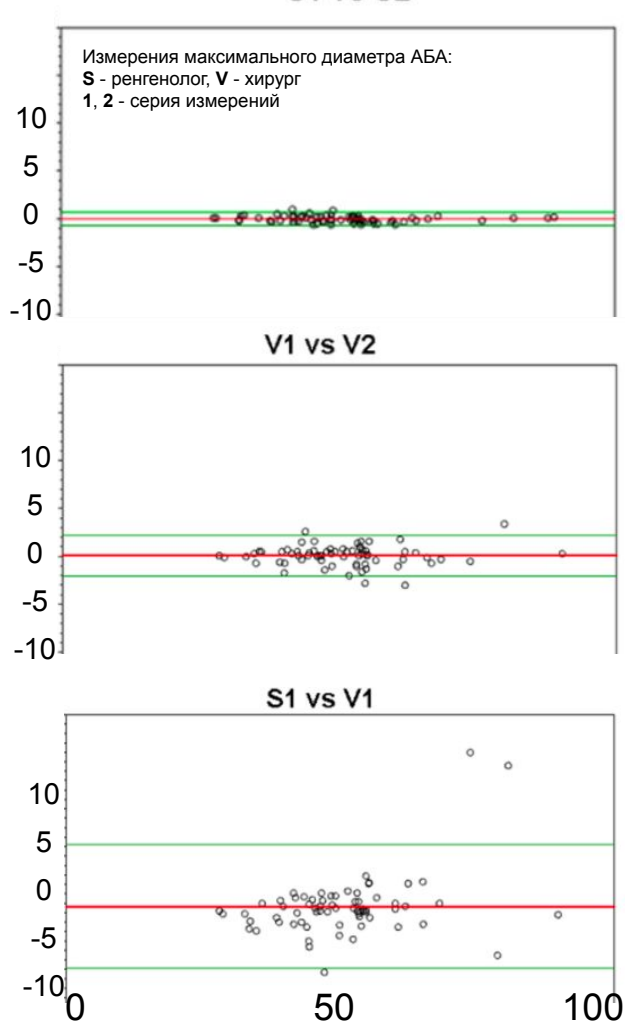
12 диаметров 4 длины

В других протоколах обычно для выбора стент-графта требуется измерить меньшее число параметров

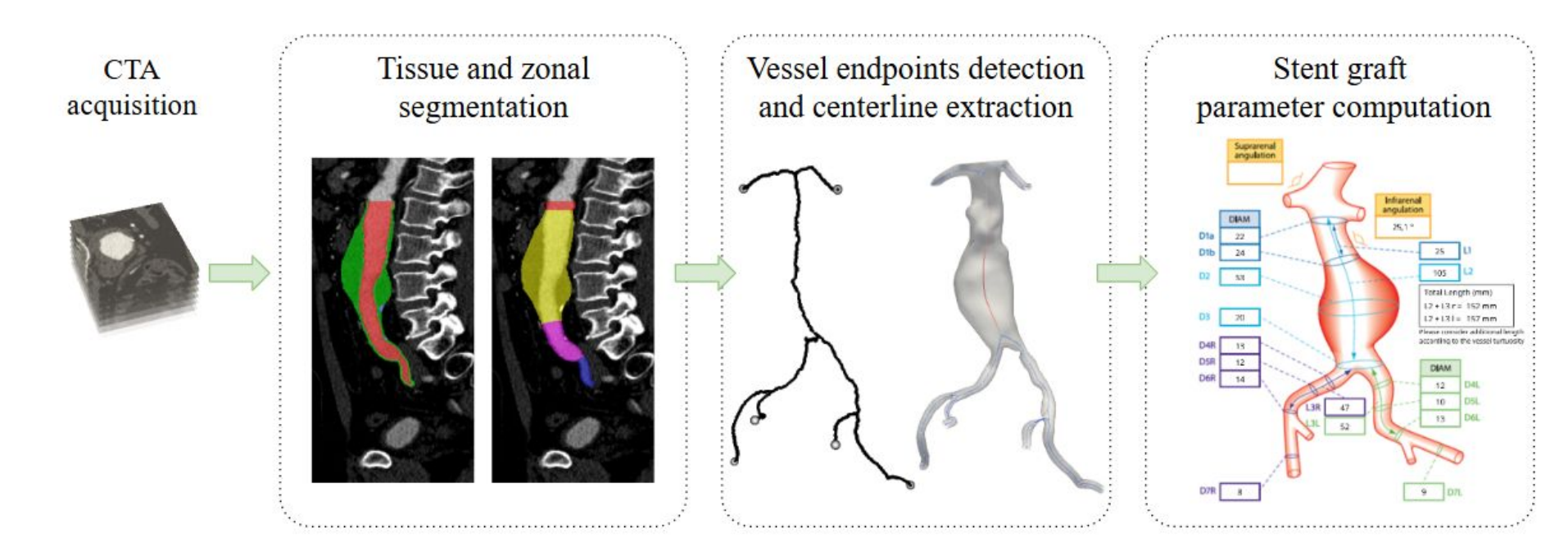
Однако ручные или полуавтоматические методы сильно подвержены интер- и интра-вариабельности



#### S1 vs S2



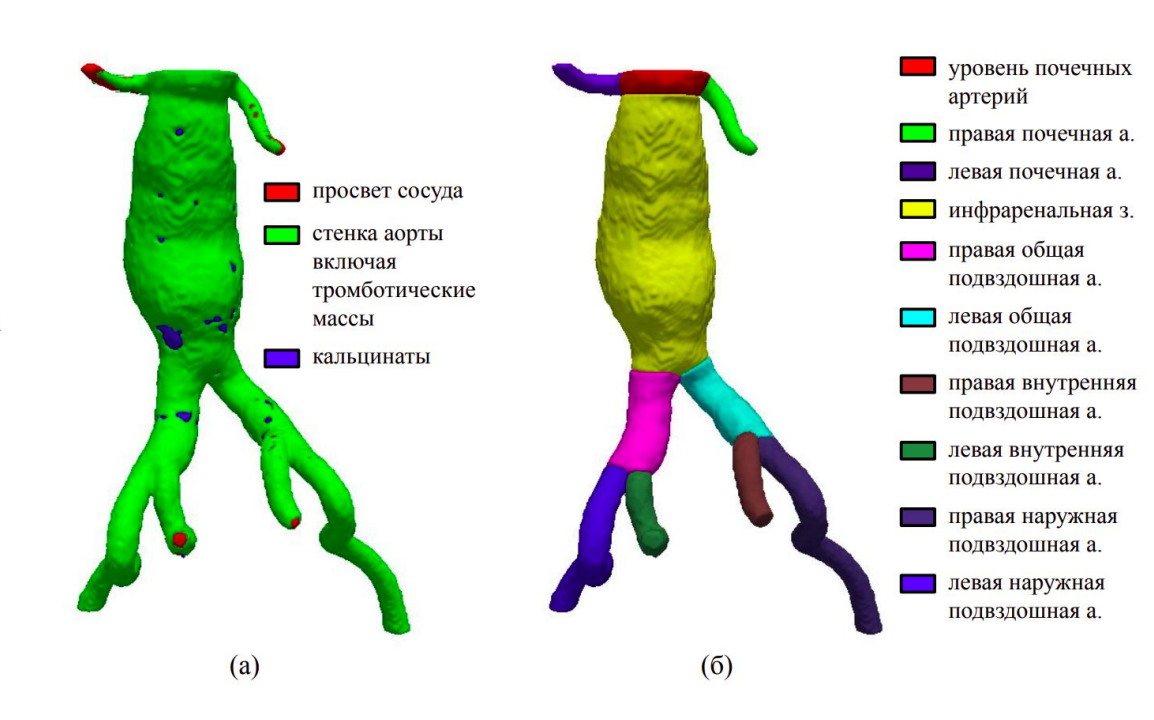
#### Методы



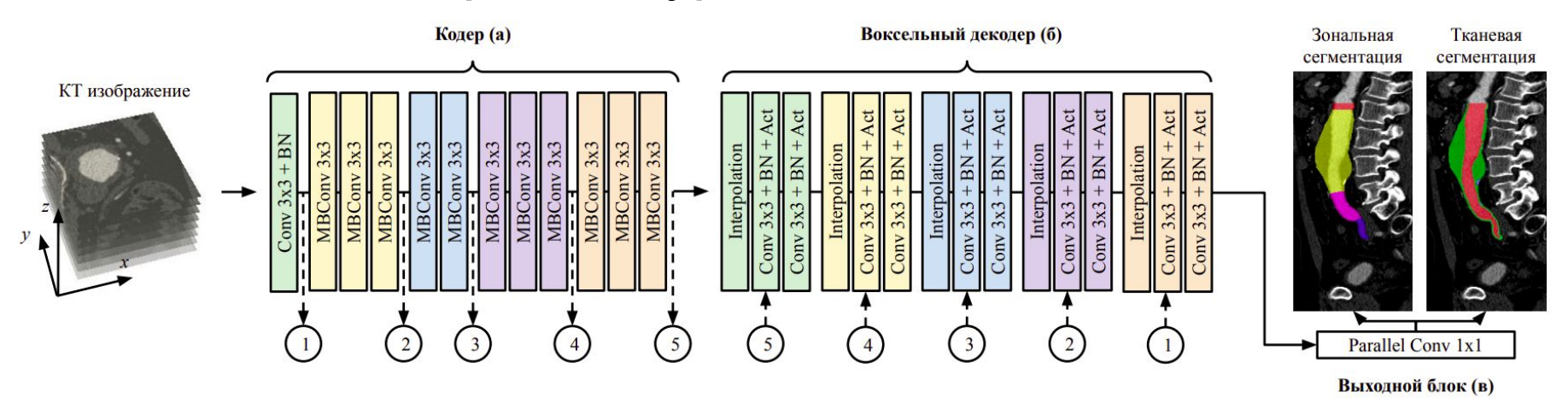
#### Сегментация: данные

В обучении использовали 30 КТ исследований с двумя типами сегментации.

На масках тканевой сегментации размечены просвет и прилежащие ткани — всего три зоны. Кроме того, на масках зональной сегментации размечено десять клинически значимых зон.

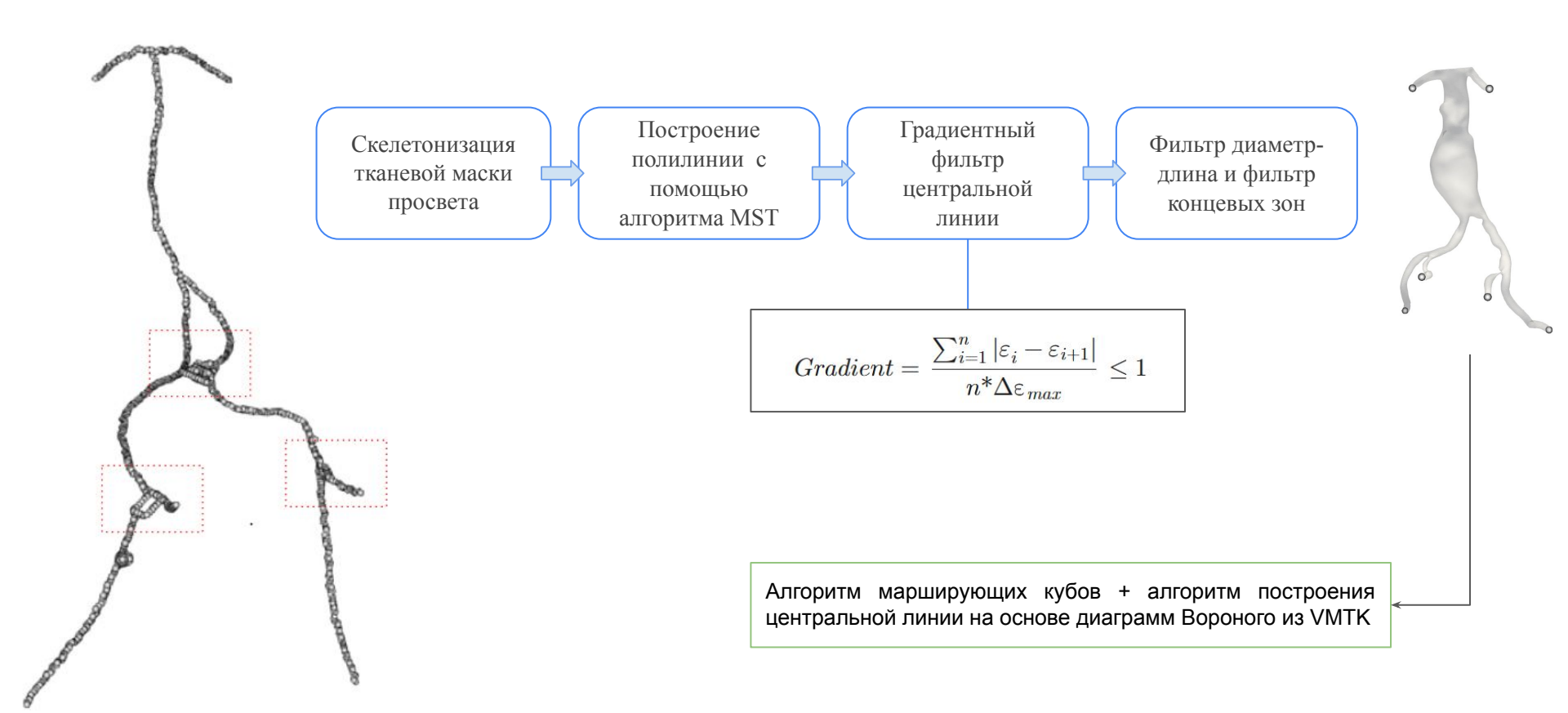


#### Сегментация: архитектура

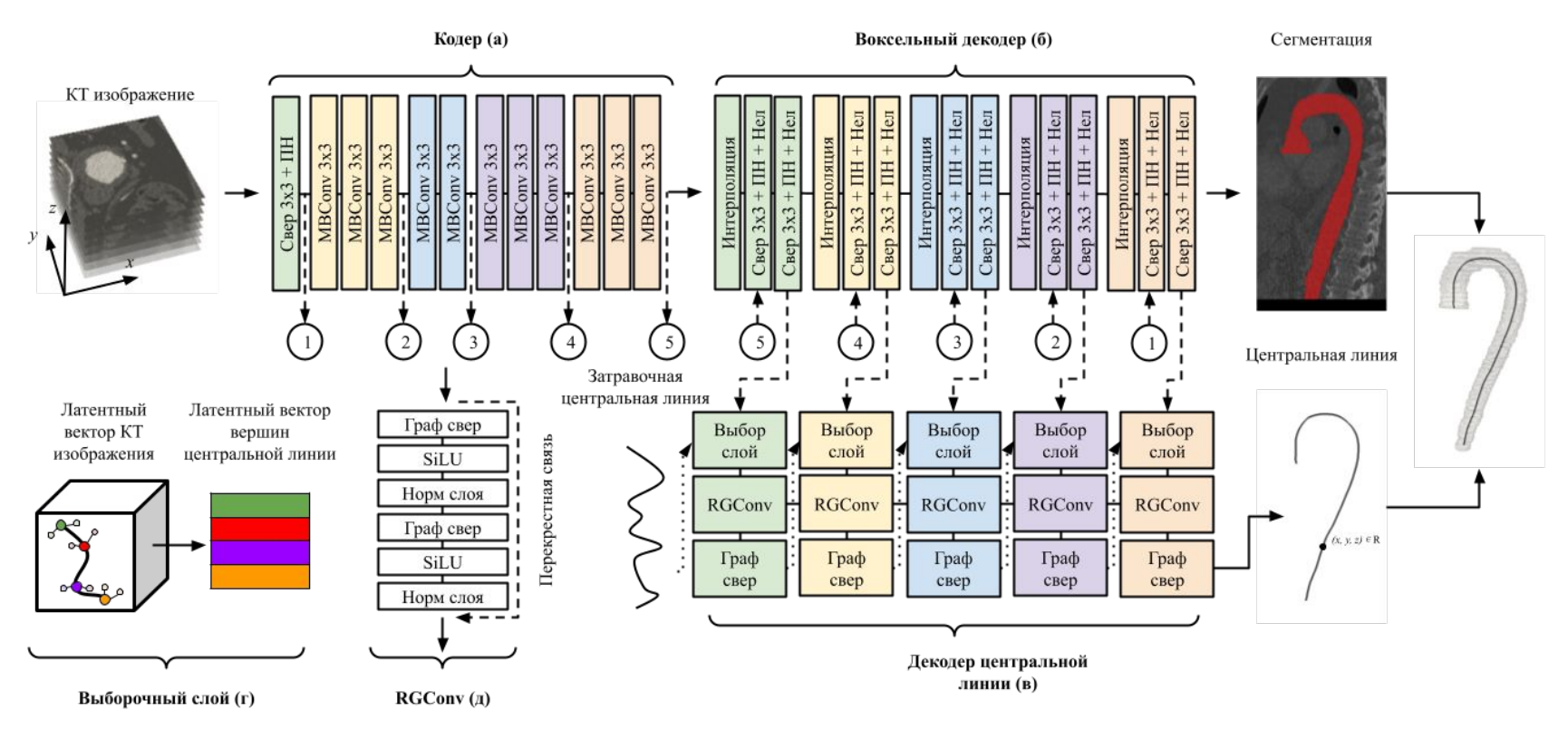


В задаче тканевой сегментации было достигнуто качество 87.75%, а в задаче зональной сегментации 86.16% по метрике Серенсена-Дайса.

#### Поиск концевых точек сосудистой сети



# Альтернативный подход к построению центральной линии

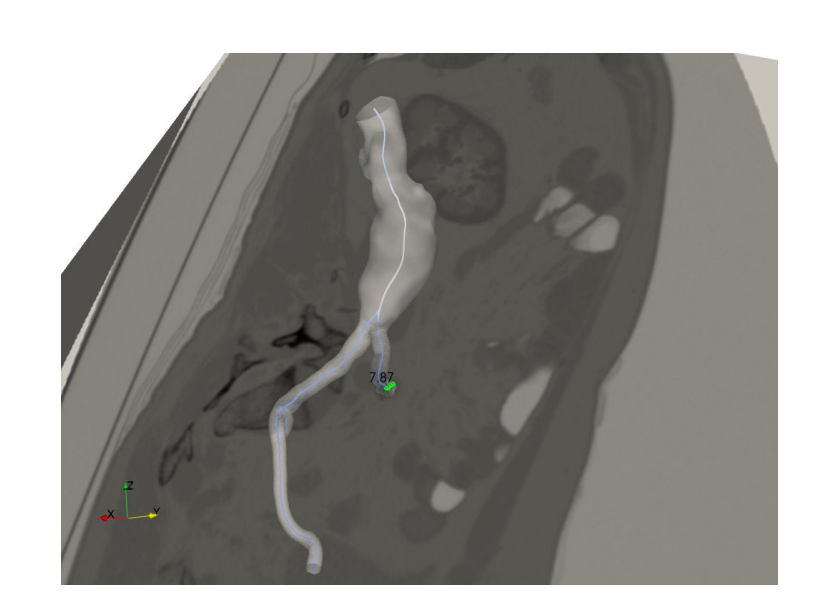


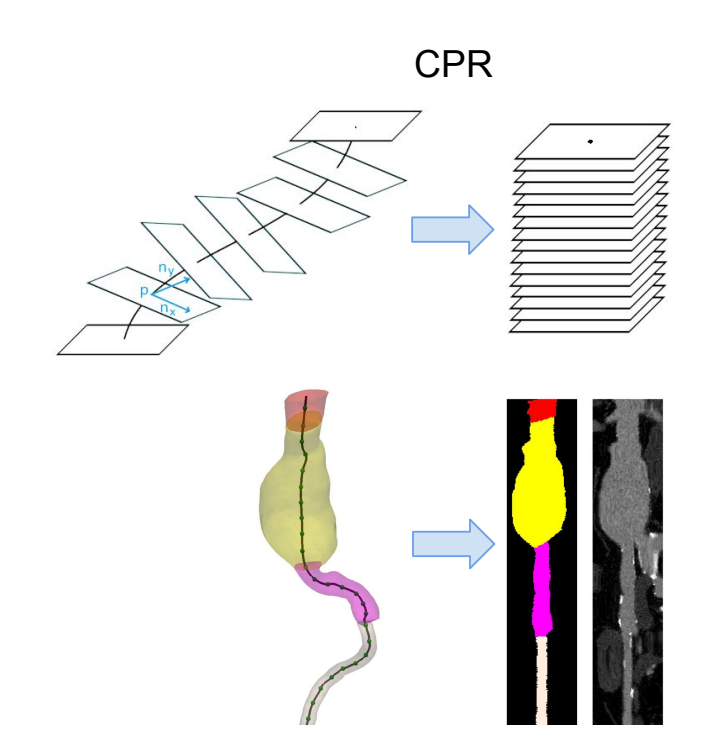
#### 3D оценка и CPR

Существуют два подхода, используемых для измерения параметров стент графтов для EVAR:

- Прямое измерение диаметров и длин сосуда по ортогональным сечениям;
- CPR (straightened curved planar reformation)

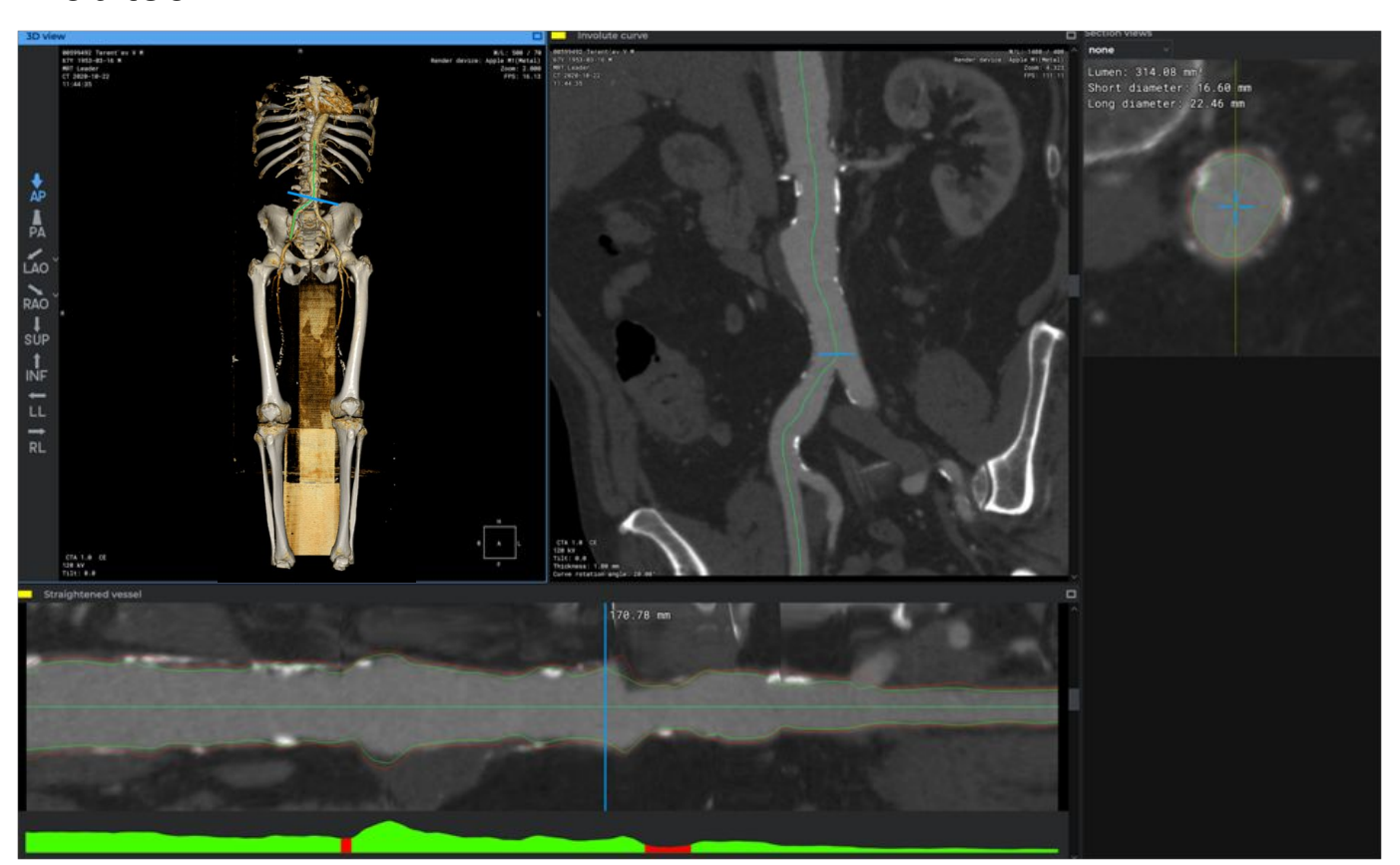
Прямое 3D-измерение





# Существующие решения

#### Inobitec

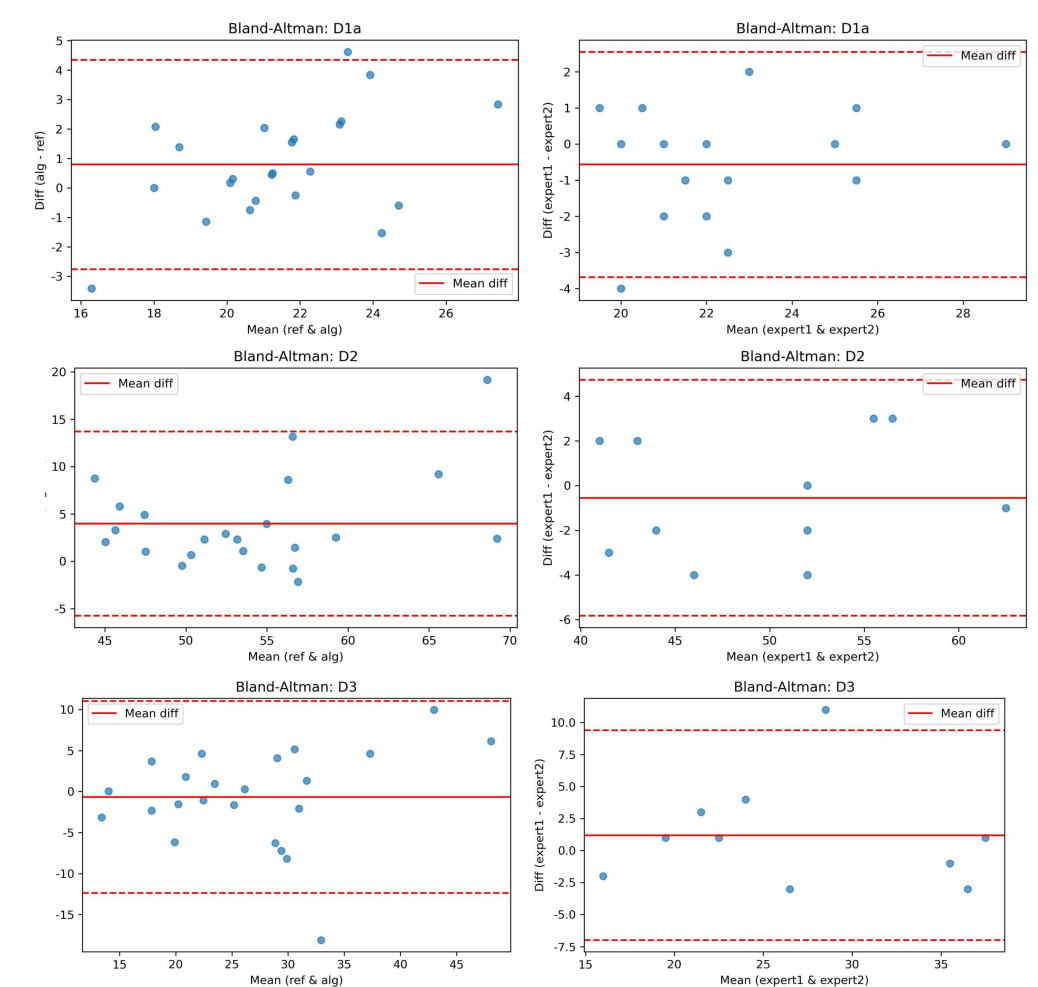


#### Существующие решения

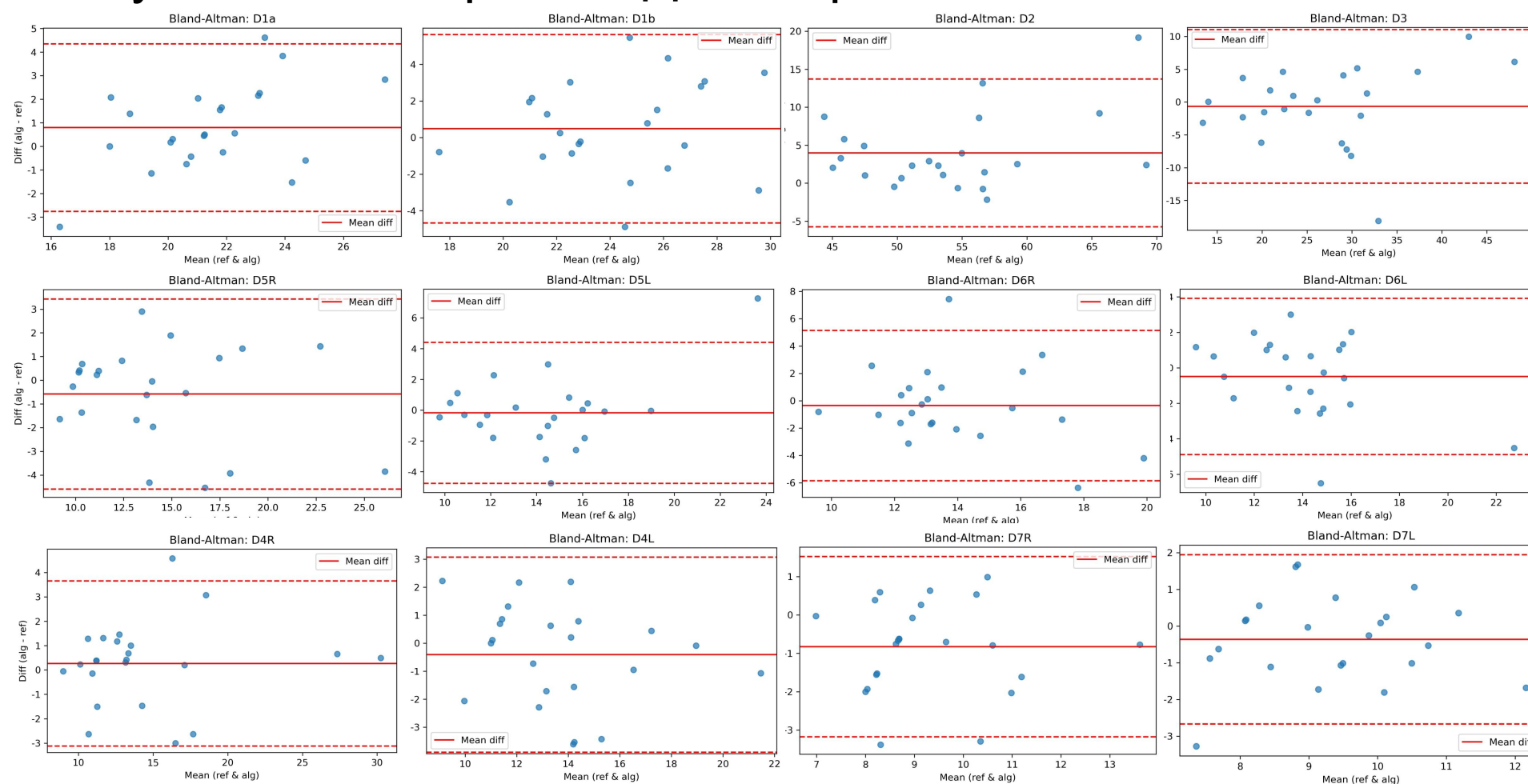
#### **EndoSize**



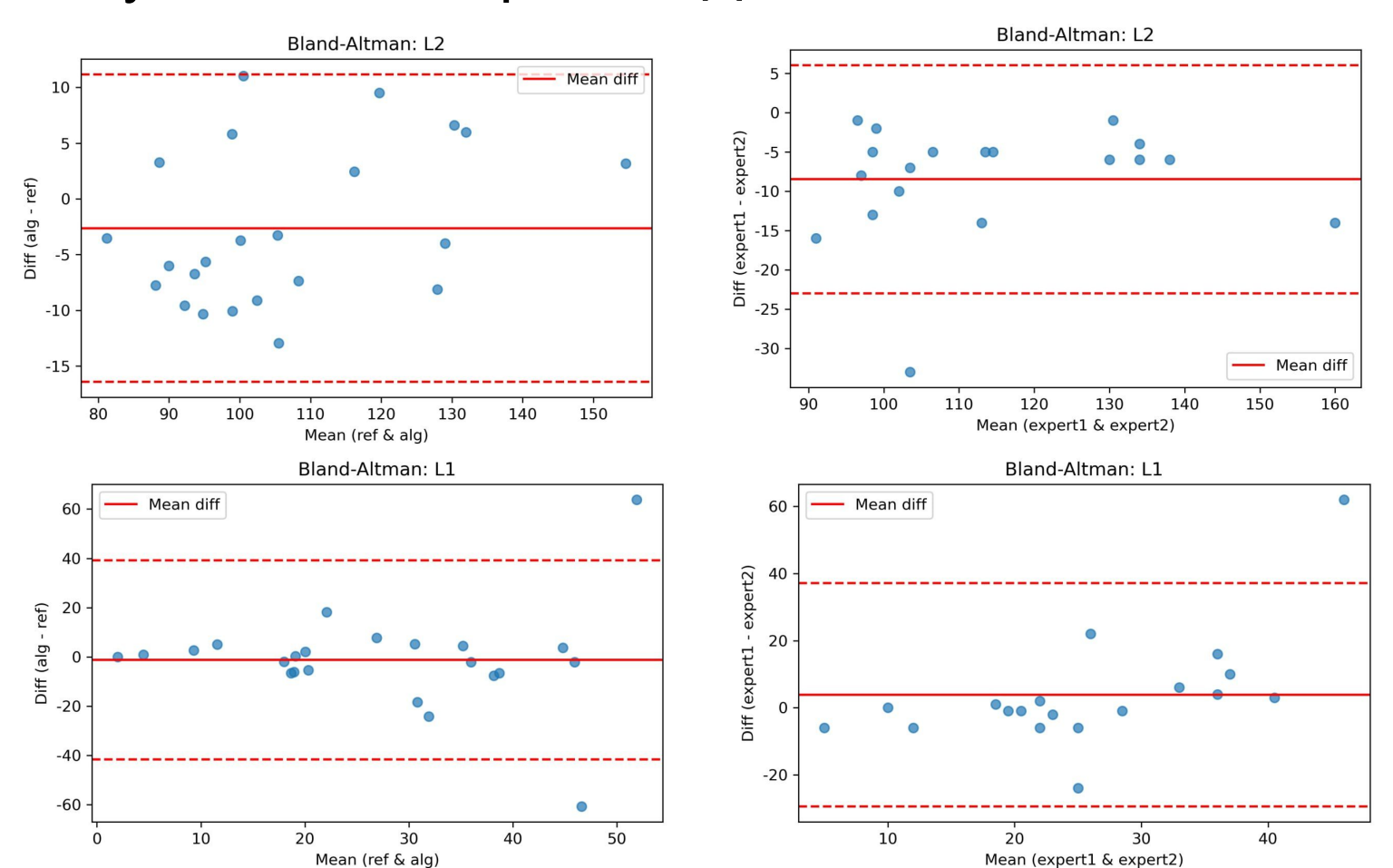
#### Диаметры. Алгоритм vs Эксперт. Эксперт1 vs Эксперт2



Результаты измерений. Диаметры.



#### Результаты измерений. Длины.



#### Предварительные результаты и выводы

- 1. Согласованность диаметров оказалась выше, чем длин, что объясняется тем, что положения ортогональных плоскостей для измерений диаметров четко определены, в отличие от положения точек центральной линии.
- 2. Был разработан прототип полностью автоматизированного инструмента для планирования EVAR, однако необходимо провести тщательное измерение межоператорной вариабельности измерений длин и диаметров для оценки работы разработанных алгоритмов, а также исследовать природу ошибок.

# Спасибо за внимание!

#### Сегментация: результаты

#### Ткани:

Класс 1: 89.22%, Класс 2: 88.17% Класс 3: 85.88%, Среднее: 87.75%

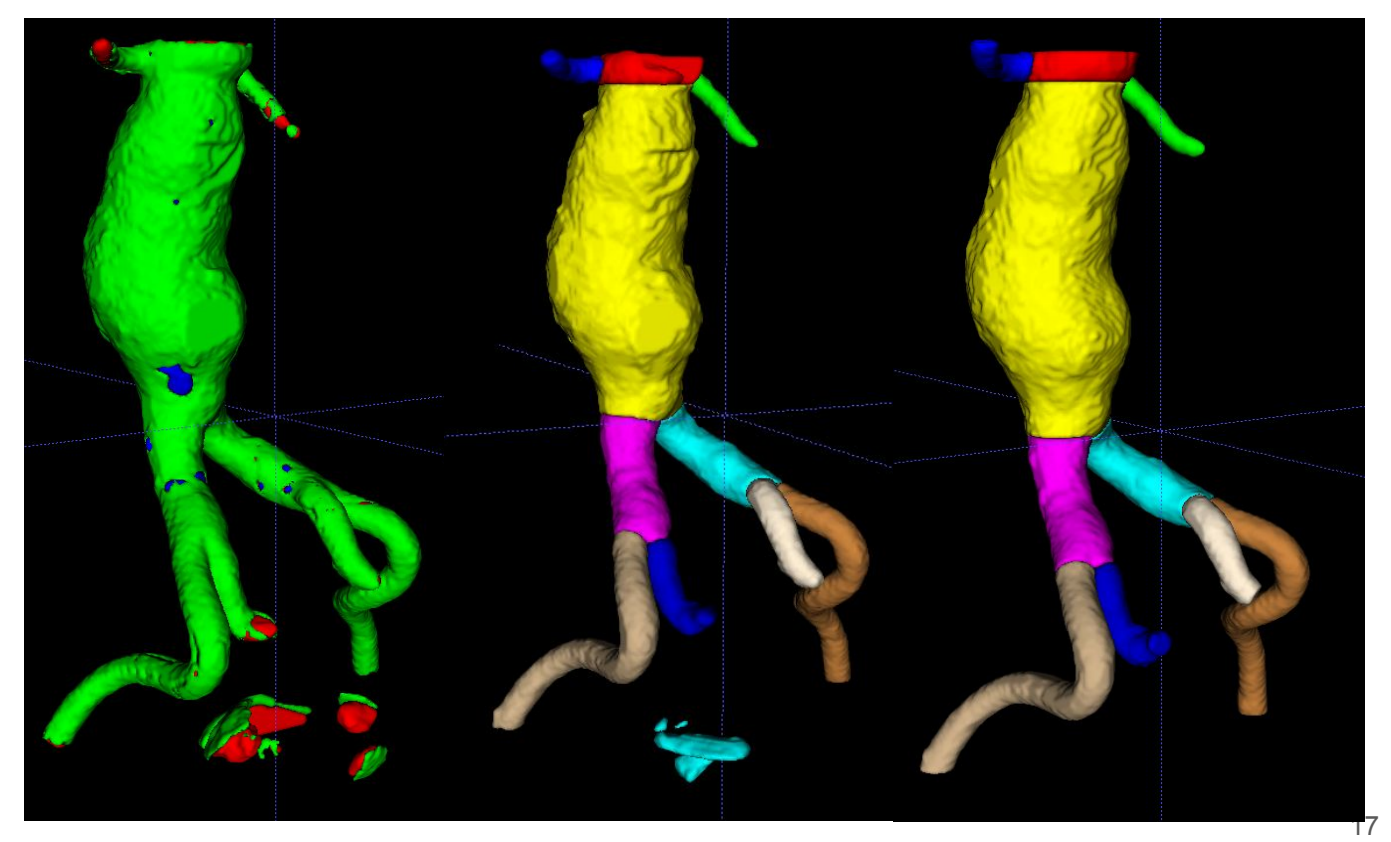
#### Зоны:

Класс 1: 85.71% Класс 2: 79.32%, Класс 3: 82.53%, Класс 4: 94.18% Класс 5: 89.23% Класс 6: 92.84% Класс 7: 77.14% Класс 8: 74.43%,

Класс 9: 91.23%,

Класс 10: 94.96%,

Среднее: 86.16%



Предсказанные тканевая и зональные маски, а также эталонная зональная маска

# **CPR**

